

МАГНЕТООСЦИЛЛАЦИИ В ДВУМЕРНОЙ ЭЛЕКТРОННОЙ СИСТЕМЕ С ПЕРИОДИЧЕСКИМ ПОТЕНЦИАЛОМ АНТИТОЧЕК

Г.М.Гусев, В.Т.Долгополов¹⁾, З.Д.Квон, А.А.Шашкин¹⁾,
В.М.Кудряшов, Л.В.Литвин, Ю.В.Настаушев

Институт физики полупроводников СО АН СССР
630090, Новосибирск

¹⁾Институт физики твердого тела АН СССР
142432, Черноголовка, Московская обл.

Поступила в редакцию 5 августа 1991 г.

Изучено магнетосопротивление двумерного электронного газа в сверхрешетке из антиточек. В слабых магнитных полях наблюдались осцилляции, обусловленные совпадением ларморовского радиуса с периодом сверхрешетки. В сильных полях обнаружены два периода квантовых осцилляций.

В последнее время возник интерес к двумерным электронным системам с пространственно модулированной концентрацией электронов. Предельными случаями таких систем со стопроцентной модуляцией являются система отдельных точек, вырезанных из плоскости двумерного газа, и система антиточек, в которых концентрация двумерных электронов равна нулю. Периодическая решетка антиточек, создаваемая в системах с двумерным электронным газом, обладает уникальным видом сверхрешеточного потенциала ¹⁻³. С одной стороны это бесконечно высокий отталкивающий потенциал самих антиточек, а с другой - слабо модулированный периодический потенциал, возникающий из-за повышения барьера в области сужения между антиточками. Сочетание этих двух видов потенциалов может приводить к таким интересным явлениям как связывание квантовых точек в молекулы ² и осцилляции Ааронова - Бома ³. В данной работе обнаружены новые осцилляции магнетосопротивления, поведение которых обусловлено влиянием потенциала антиточек на свойства двумерного электронного газа.

Периодическая решетка антиточек изготавливается с помощью электронно-лучевой литографии и реактивного ионного травления на гетероструктурах GaAs/AlGaAs ⁴. Параметры решетки были следующими: образец N1 - период $d = 1$ мкм, диаметр антиточек $a = 0,3$ мкм, N2 - $d = 0,8$ мкм, $a = 2$ мкм. Первый образец имел квадратную форму, а второй - форму холловского мостика, в котором антиточки покрывали часть образца между потенциальными зондами.

Введение антиточек уменьшило подвижность электронов в нулевом магнитном поле для структуры N1 в восемь-десять раз, а для структуры N2 в двенадцать раз. Подвижность исследованных образцов составляла, соответственно, $60 \cdot 10^3$ см²/В·с и $20 \cdot 10^3$ см²/В·с. Длина свободного пробега, полученная из этих значений оказалась несколько меньше, чем расстояние между антиточками.

Измерения проводили при непрерывной подсветке образцов с помощью красного светодиода. Интенсивность подсветки незначительно влияла на величину электросопротивления, однако рельеф кривой в слабых магнитных полях заметно изменялся. Существовал оптимальный уровень подсветки для наблюдения осцилляций в слабых магнитных полях.

Зависимости магнетосопротивления образцов в области слабых полей (до наступления осцилляций Шубникова - де Гааза) показаны на рис. 1. Видно, что при $B < 0,2$ Тл наблюдаются две осцилляции, положение максимумов которых соответствует условию $2R_c = nd$, где R_c - ларморовский радиус, $n = 1,2$ (см. вставку на рис. 1). Отметим, что подобные осцилляции наблюдались совсем недавно в работе ⁵. Наблюдавшийся на образце N2 участок отрицательного магнетосопротивления может быть связан с подавлением обратного рассеяния квазибаллистических электронов в магнитном поле ⁶. Когда магнитное поле достигает значения, при котором выполняется условие $2R_c = d - a$, электронная орбита становится меньше, чем расстояние между антиточками, и электрон локализуется, описывая вокруг антиточки траектории в виде "розетки" ⁷. В этом случае следует ожидать рост сопротивления образца при увеличении магнитного поля, так что излом на кривой магнетосопротивления, показанный на рис. 1 для образца N2, можно связать с этим эффектом. К сожалению, размер a точно неизвестен из-за наличия областей обеднения вокруг антиточек. Однако, если вышеуказанное предположение верно, то этот размер может быть найден из эксперимента. Оценка по формуле $2R_c = d - a$ дает значение $a = 0,34$ мкм. Учитывая, что геометрический размер $a = 0,2$ мкм, получим ширину области обеднения $t = 0,07$ мкм. Это значение соответствует литературным данным. Используя его, можно найти ожидаемое место излома для образца N1, показанное пунктирной стрелкой на вставке к рис. 1.

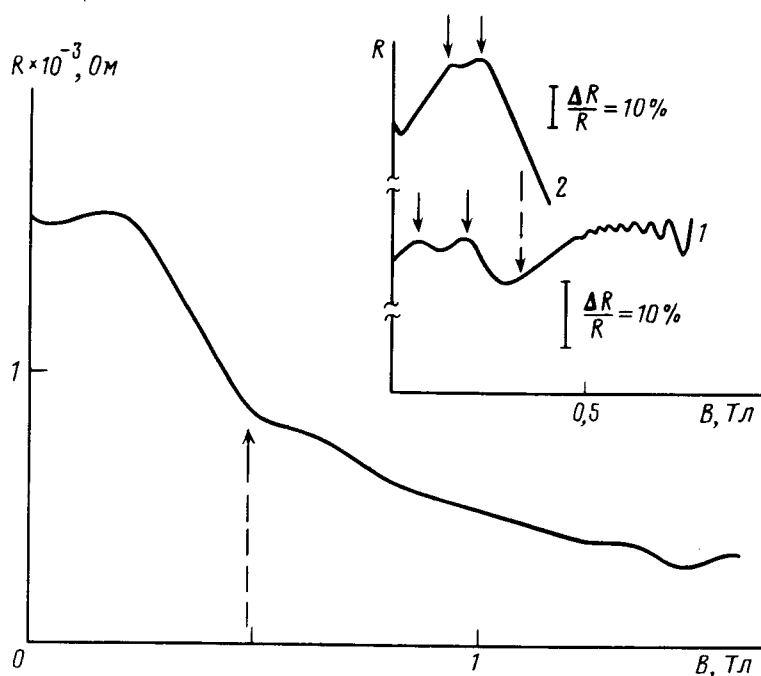


Рис. 1. Зависимость магнетосопротивления образца с антиточками от магнитного поля, структура N2, $T = 1,3$ К. На вставке показаны такие же кривые при большей чувствительности: 1 - структура N1, 2 - N2. Сплошными стрелками отмечены максимумы осцилляций, пунктирные стрелки соответствуют месту излома кривых.

Излом на кривой магнетосопротивления является первым наблюдением локализации электронов вокруг искусственно созданного рассеивателя, что открывает перспективы исследования локализации электронов в системе рас-
370

севателей, параметрами которой можно будет управлять.

При дальнейшем увеличении магнитного поля наблюдаются обычные осцилляции Щубникова - де Гааза, однако, как видно из рис. 2, при $B > 1,5$ Тл возникают новые осцилляции со вторым, меньшим периодом по обратному магнитному полю. Они не могут быть связаны с неоднородностью образца, поскольку в этом случае оба периода осцилляций должны существовать во всей области магнитных полей. Для образца с периодом решетки $d = 0,8 \text{ мкм}$ картина осцилляций меняется радикально (рис. 2б): наблюдается сбой периода осцилляций, и в сильных полях глубокие минимумы имеют второй период, а осцилляции со старым периодом постепенно исчезают.

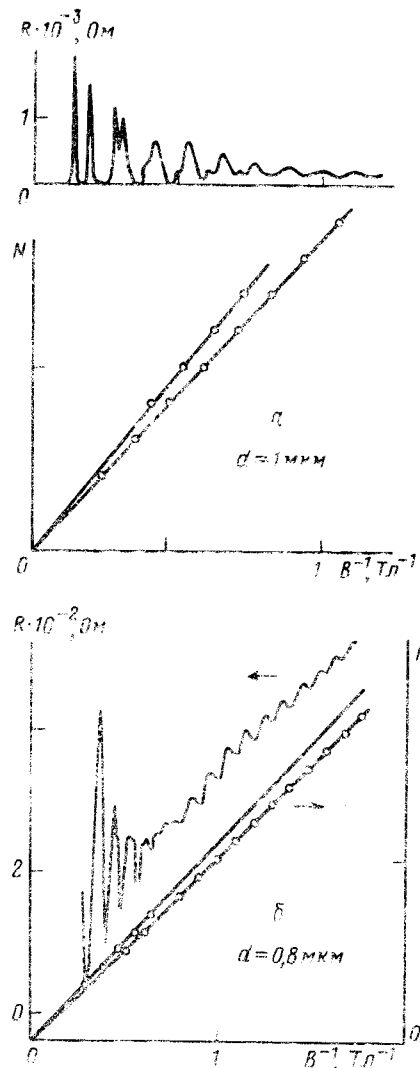


Рис. 2. Квантовые осцилляции на образцах с антиточками и положение минимумов осцилляций от магнитного поля. а - образец N1, $T = 0.2\text{K}$ б - N2, $T = 1.3\text{K}$

Причины появления второго периода квантовых осцилляций полностью не ясны. Одна из возможностей объяснения состоит в учете сверхрешеточного потенциала антиточек, вид которого показан на рис. 3. Периодический потенциал уширяет каждый уровень Ландау в зону, ширина которой в сильных полях равна величине потенциала V^* . Плотность состояний в зоне Ландау имеет особенности, связанные с особыми точками периодического потенциала (рис. 3). Одна из этих точек соответствует минимуму энергии и приводит

к скачку плотности состояния. Седловые точки дают расходимость плотности состояний в верхней части зоны Ландау⁹. В относительно слабых магнитных полях основной вклад в осцилляции проводимости обусловлен состояниями, соответствующими точке расходимости, однако при увеличении поля начинают проявляться состояния, принадлежащие минимуму периодического потенциала. Поскольку проводимость определяется не только плотностью состояний, но и временем релаксации, могут наблюдаться различные ситуации, в которых проводимость имеет минимумы, связанные либо с обеими особенностями плотности состояний в зоне Ландау, либо с одной из них. Различие периодов дает ширину зоны Ландау $V = 1,4$ мэВ.

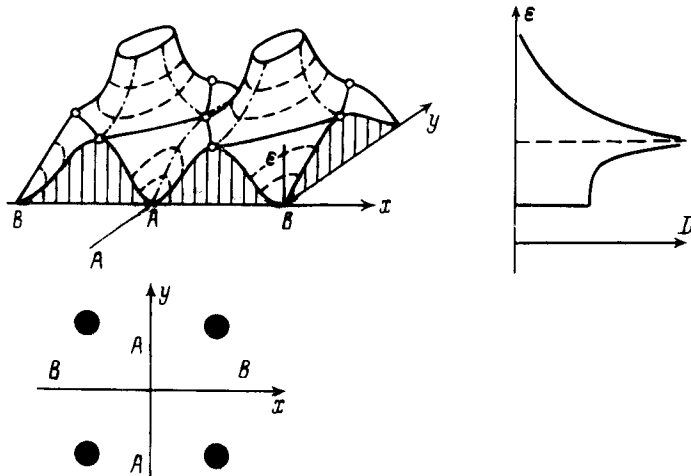


Рис. 3. Качественный вид потенциала в системе с антиточками. Отмечены седловые точки и проходящие через них линии уровня. Остальные эквипотенциальные линии показаны пунктиром. Внизу изображена система антиточек, а справа - качественный вид плотности состояний в зоне Ландау.

Таким образом, при измерении магнетосопротивления двумерных электронов в системе с антиточками были обнаружены два различных периода квантовых осцилляций, соответствующие двум группам носителей с различными траекториями движения в периодическом потенциале антиточек. Вклад этих групп в проводимость зависит от периода решетки и величины магнитного поля.

В заключение авторы благодарят М.В.Энтина и А.О.Говорова за многочисленные плодотворные обсуждения, Х.Райха за предоставление системы ELPHY для проведения электронно лучевой литографии, В.Г.Плюхина за проведение реактивного травления.

-
1. Ensslin K., Petroff P.M. Phys. Rev. B, 1990, **41**, 12307.
 2. Lörke A., Kotthaus J.P., Ploog K. Phys. Rev. Lett., 1990, **64**, 2559.
 3. Smith C.C., Pepper M., Newberry R. et al. J. Phys.: Cond. Matt., 1990, **2**, 3405.
 4. Быков А.А., Гусев Г.М., Кwon З.Д., и др. Письма в ЖЭТФ, 1991, **53**, 407.
 5. Weiss D., Roukes M.L., Menschig A. et al. Phys. Rev. Lett., 1991, **66**, 2790.
 6. Van Houton H., Beenakker C.W.J., van Wees B.J. In Semiconductors and Semimetals, ed. by M.A. Reed, N.Y.: Academic Press, 1990.
 7. Баскин Э.М., Магарилл Л.И., Энтин М.В. ЖЭТФ, 1978, **75**, 723.
 8. Айзин Г.Р., Волков В.А. ЖЭТФ, 1984, **87**, 1469.
 9. Энтин М.В. частное сообщение.